



مدلسازی خطر خسارت یخبندان بهاره درختان میوه مطالعه موردنی: محصول سیب، مکان دشت مشهد

محمد رحیمی^۱- منوچهر فرج زاده^{۲*}- غلامعلی کمالی^۳

تاریخ دریافت: ۸۹/۱/۲۹

تاریخ پذیرش: ۸۹/۱۲/۷

چکیده

در این مطالعه به منظور مدلسازی خطر خسارت یخبندان در دشت مشهد، ۱۲ متغیر موثر اقلیمی (دماهی حداقل، نرخ کاهش دما قبل از یخبندان، نرخ افزایش دما بعد از یخبندان، طول مدت یخبندان، روز شمار و قوع یخبندان، واحدهای حرارتی تجمعی سیب، سطح محصور بین منحنی دمای روزانه و خط صفر درجه سانتیگراد) و جغرافیایی (ارتفاع از سطح دریا، طول و عرض جغرافیایی، جهت و زاویه شیب) انتخاب شدند. سپس سه یخبندان تابشی زیانبخش رخ داده در تاریخ‌های ۳۱ فروردین ۱۳۸۲، ۸ و ۱۹ فروردین ۱۳۸۴ در محدوده زمانی گلدهی درخت سیب برای مطالعه انتخاب شدند. داده‌های هواشناسی نیز از آمار ۹ ایستگاه هواشناسی واقع در داخل و بیرون محدوده موردن مطالعه استخراج گردید. برای مدلسازی خطر خسارت یخبندان از روش رگرسیون خطی چند متغیره استفاده گردید. به منظور تهیه داده‌های کافی برای ورود به مدل نقشه پهنه بندی هر کدام از متغیرها با استفاده از روش وزن دهی معکوس فاصله (IDW) تهیه و مقادیر هر نقشه از شبکه ای فرضی به فاصله ۵ در ۵ کیلومتر استخراج و وارد مدل گردید. سپس با استفاده از معادله رگرسیون در سطح اعتماد ۹۹ درصد، مقادیر خطر خسارت برای هر نقطه از شبکه فرضی محاسبه و نقشه مربوطه ترسیم گردید. معادله رگرسیون میان نقشه خطر خسارت برآورده شده و واقعی یخبندان با ضریب همبستگی ۰/۹۳ به دست آمده و نقشه خطا نیز ترسیم گردید. بر اساس نتایج به دست آمده ریسک خسارت یخبندان در ۳۱ فروردین ۱۳۸۲ با ۵۳/۱۹ درصد در مناطق جنوب غربی دشت به عنوان حداکثر و با ۳۴/۵ درصد در مناطق جنوب شرقی دشت به عنوان حداقل برآورده شد.

واژه‌های کلیدی: مدلسازی، ارزیابی خطر، خسارت یخبندان، دماهی حداقل، گلدهی سیب، دشت مشهد

مقدمه

کشاورزی استان خراسان رضوی برابر با ۱۷۰۰ میلیارد ریال اعلام گردیده است (۱۸). میزان خسارت ناشی از یخبندان بر روی محصولات کشاورزی نسبت به مکان، زمان، نوع محصول و شرایط محیطی متفاوت است. وقوع یخبندان با شدت یکسان در دو منطقه با شرایط محیطی متفاوت و یا دو محصول متفاوت و یا یک محصول با واریته‌های مختلف باعث ایجاد خسارات متفاوت می‌گردد. اینکه چه عواملی در تعیین میزان خسارت یخبندان نقش برخی از عوامل موثر بر میزان خسارت از قبیل خصوصیات جغرافیایی و توپوگرافیکی منطقه ثابت هستند ولی برخی از خصوصیات از قبیل شدت و تداوم یخبندان نسبت به زمان دارای تغییرات هستند. لذا می‌توان با پهنه بندی عوامل موثر در میزان خسارت یخبندان، خطر خسارت را نیز برای یک محصول خاص در منطقه جغرافیایی خاصی پهنه بندی نمود.

اولین مطالعات داشمندان در مورد یخبندان زیانبخش کشاورزی به یکصد و شصت سال قبل بر می‌گردد که توسط ریکنگل در مورد یخبندان دیررس بهاره و روش‌های جلوگیری از خسارت آنها می‌باشد

یخبندان به کاهش دمای هوا به زیر نقطه انجماد گفته می‌شود و چنانچه این رویداد در طول فصل رشد اتفاق افتاد خسارات زیادی بر روی محصولات کشاورزی می‌گذارد. سیب یکی از محصولات مهم استان خراسان رضوی است که کل سطح کشت آن در شهرستانهای استان خراسان رضوی در سال ۱۳۸۴ بیش از ۱۶ هزار هکتار بوده است. در یخبندان زیانبخش فروردین ۱۳۸۴ در خراسان رضوی حدود ۱۱ هزار هکتار از باغات درختان میوه دانه دار شامل گلابی، به و سیب آسیب دیدند که حدود ۱۰ هزار هکتار آن مربوط به محصول سیب بوده است (۱۷). میزان خسارت وارد شده بر اساس اعلام سازمان جهاد

۱- استادیار دانشگاه سمنان و دانش آموخته دانشگاه تربیت مدرس، تهران

۲- دانشیار دانشگاه تربیت مدرس، تهران

۳- نویسنده مسئول: (Email: farajzam@modares.ac.ir)

۴- دانشیار دانشگاه آزاد واحد علوم و تحقیقات تهران

پهنه‌بندی خطر یخیندان بهاره را در باغات انگور در فرانسه انجام داده‌اند. آنها با کمک رگرسیون چند متغیره و بر اساس مدل رقومی زمین، توزیع دمای حداقل را در منطقه مورد مطالعه به دست آورده و بر اساس این نقشه، توزیع میزان خطر یخیندان را نیز برای کل منطقه بر اساس اطلاعات هواشناسی ۲۰ ایستگاه ترسیم نمودند.

مطالعات مربوط به یخیندان کشاورزی در کشور طی سالهای گذشته در کشور تا حدودی کم بوده است و اکثر این مطالعات جنبه‌های سینوپتیکی و آماری وقوع یخیندانها را مورد بررسی قرار داده اند. اولين مطالعه یخیندان در ایران به سال ۱۳۵۳ بر می‌گردد که توسط هاشمی و در مورد تاریخ وقوع اولین و آخرین یخیندان در ۱۷ ایستگاه هواشناسی موجود در گستره ایران صورت گرفت (۱). علیزاده و همکاران (۳) احتمال وقوع اولین و آخرین یخیندان را در ۱۵ ایستگاه هواشناسی خراسان مورد مطالعه قرار دادند. این مطالعات به صورت نقطه‌ای و فقط برای ایستگاه‌های هواشناسی انجام گردید. رحیمی (۱) یخیندان‌های البرز مرکزی را به صورت منطقه‌ای بررسی نموده است به ترتیبی که قانونمندی‌های معینی را برای منطقه ارایه نموده است.

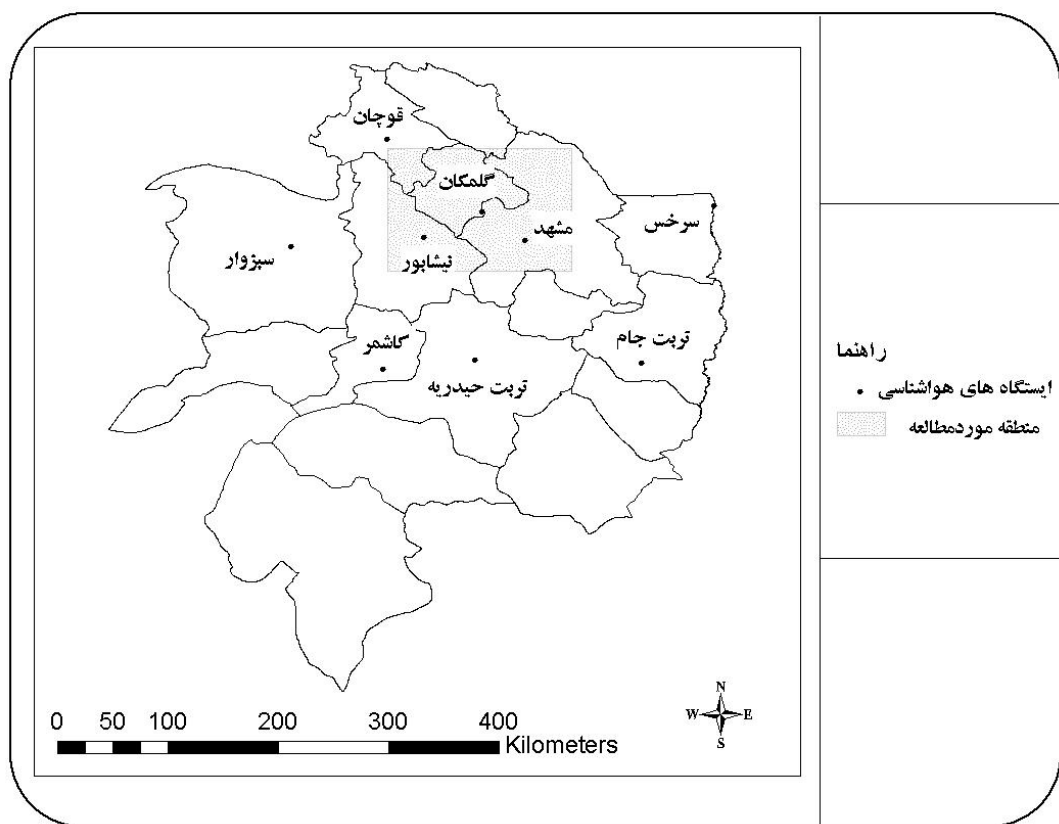
مطالعه و بررسی خاصی در زمینه شناخت متغیرهای موثر بر روی خطر خسارت یخیندان تا به حال در کشور صورت نگرفته است و به عبارتی ریسک یخیندان مورد کمی سازی قرار نگرفته است. در این مطالعه برای اولين بار در مطالعات یخیندان در کشور، به کمک مدل سازی سیستم اطلاعات جغرافیایی و نیز بهره گیری از داده‌های هواشناسی نقشه‌های خطر خسارت یخیندان تهیه گردید که می‌تواند مورد استفاده بخش‌های مختلف قرار بگیرد.

سبب از جمله درختانی است که با مناطق سردسیر تطابق بیشتری دارند. با این وجود سرماهای شدید، موجبات خسارت را فراهم می‌سازد. بر اساس دیده بانی هایی که طی سالهای ۱۳۸۱ تا ۱۳۸۶ در ایستگاه تحقیقاتی هواشناسی کشاورزی گلستان انجام شده است میانگین زمان آغاز گله‌ی باغات سبب از ۵ تا ۳۰ فروردین مشاهده شده است. از زمان آغاز گله‌ی تا حدود دوهفته به عنوان مرحله حساس فنولوژیکی سبب نسبت به یخیندان در نظر گرفته می‌شود (۲).

هدف این پژوهش، شناسایی عوامل موثر بر خسارت یخیندان و یکپارچه سازی آنها از طریق مدل سازی در سیستم اطلاعات جغرافیایی و ارایه مدلی برای ارزیابی خطرخسارت یخیندان است. کمی سازی خطر خسارت یخیندان به منظور شناسایی نقاط خطر پذیر جهت توسعه باغات سبب، کمک به انجام علمی بیمه این محصول و نیز توسعه روش‌های محافظت از آسیب ناشی از یخیندان می‌باشد. نتایج مطالعه حاضر، علاوه بر اینکه می‌تواند نقش مهمی در درآمد و معاش کشاورزان داشته باشد بلکه گامی در جهت رشد و شکوفایی کشاورزی کشور و اقتصاد ملی نیز محسوب می‌شود.

(۱۹). بوتسما (۶) درجه حرارت کمینه و احتمال وقوع یخیندان را در زمینهای کوهستانی در کشور کانادا مورد مطالعه قرار داد. او نتیجه گرفت که متوسط تاریخهای برآورد شده وقوع یخیندان در قعر دره‌ها ۳۴ روز دیرتر در بهار و ۳۹ روز زودتر در پاییز نسبت به ارتفاعات رخ می‌دهد. آویسار و ماهر (۵) یک مدل سه بعدی را در مقیاس محلی برای شبیه سازی خرد اقلیم نزدیک سطح زمین در زمان وقوع یخیندانهای تابشی توسعه دادند. متغیرهای موثر در این مدل شامل پستی بلندی، پوشش گیاهی، رطوبت موجود در خاک، سمت و سرعت باد و رطوبت هوا بودند. میچالسکا (۱۳) با مطالعه احتمال زمانی وقوع یخیندانهای دیررس بهاره در هلند، تاریخ کاشت مناسب ذرت را تعیین نمود. کاجفر (۹) تاریخ وقوع یخیندانهای زودرس پاییزه را در ۹ مکان در اسلوونی در طی سالهای ۱۹۴۷ تا ۱۹۸۷ به دست آورد. وی رابطه تاریخ وقوع اولین یخیندان و ارتفاع محل را نیز مشخص نمود. لافلین و کالما (۱۱) نتایج مطالعات حداقل درجه حرارت حداقل هوا با ارتفاع، بر اساس میانگین شبانه سرعت باد، تابش خالص خروجی شبانه و درجه حرارت حداقل بالای تپه قابل برآورد می‌باشد. همچنین معلوم شد که اختلاف دما در نقاط مختلف از طریق یک متغیر زمینی محلی که نشانده نمایان تجمع هوای سرد است قابل برآورد می‌باشد. بنابراین متدولوژی پهنه‌بندی ریسک یخیندان بر اساس داده‌های هواشناسی منطقه‌ای و تحلیل زمینی محلی امکان پذیر می‌باشد.

زینونی و همکاران (۲۰)، یک مطالعه اقلیمی- اروگرافیکی را به منظور شناسایی نواحی مستعد یخیندان و تعیین مشخصات رویدادهای یخیندان در دوره زمانی مارس و آوریل ۱۹۸۷ تا ۲۰۰۰ برای ۱۶۱ ایستگاه هواشناسی در منطقه امیلیا رومانیا در ایتالیا انجام دادند. این محققین یک شاخص تلفیقی ریسک یخیندان را که هم شرایط دمایی و هم شرایط فنولوژیکی را در نظر می‌گیرد، معرفی نمودند. پژوهشگران یاد شده منطقه مورد مطالعه را به دو بخش کوهستانی و اقلیمی و اروگرافیکی محاسبه نمودند. بدین ترتیب برای نقاط کوهستانی منطقه، یک همبستگی معنی دار بین میانگین دمای حداقل در طی یخیندان با دو عامل اروگرافیکی ارتفاع نسبی از پایین دره و نزدیکی به دریا ارایه گردید. برای بخش مسطح همبستگی معنی داری ارایه نشده است که به دلیل عدم کفايت داده‌ها بوده است. ریچاردز و بامگارتن (۱۵) نشان دادند که توزیع مکانی یخیندانهای تابشی ارتباط نزدیکی با الگوهای توبوگرافیکی دارد و این باعث می‌شود که یخیندان از روی نقشه‌های توبوگرافیکی مشخص شود. با استفاده از مدلسازی در سیستم اطلاعات جغرافیایی و تأثیر عواملی چون نوع پوشش سطح زمین، شب، ارتفاع، عرض جغرافیایی و فاصله تا ساحل، نقشه درجه حرارت حداقل را ارایه نمودند. مادلین و بلتراندو (۱۲)



شکل ۱- نقشه محدوده مورد مطالعه (مستطیل تیره) و ایستگاه‌های هواشناسی

- تداوم یخبندان
- سطح محصور بین منحنی دما و خط صفر درجه که عبارت است از سطح محصور بین منحنی دما و خط صفر درجه طی مدتی که دما زیر صفر می‌باشد. مساحتی را که منحنی دمای روزانه با خط صفر درجه سانتیگراد به دست می‌داد مساوی با مجموع حاصلضرب قدر مطلق دما در تداوم آن در نظر گرفته شد. واحد این متغیر درجه ساعت می‌باشد.
- نرخ کاهش دما قبل از یخبندان: واحد این متغیر درجه سانتی گراد بر ساعت می‌باشد و آن شبی یا ضربی زوایه خطی است که دمای ساعت ۹ شب قبل را به دمای ساعت ۶ صبح روز یخبندان (نرخ کاهش دما طی ۹ ساعت قبل از وقوع یخبندان) وصل می‌کند.
- نرخ افزایش دما بعد از یخبندان: واحد این متغیر درجه بر ساعت می‌باشد و آن شبی یا ضربی زوایه خطی است که دمای ساعت ساعت ۶ صبح روز یخبندان را به دمای ساعت ۳ بعد از ظهر محلی (نرخ افزایش دما طی ۹ ساعت بعد از وقوع یخ بندان) وصل می‌کند.
- درجه روز تجمیعی: در خصوص نحوه محاسبه میزان تامین نیازهای سرمایی و گرمایی مدلها متفاوتی وجود دارد. در این مطالعه

مواد و روش‌ها

منطقه مورد مطالعه قسمتی از استان خراسان رضوی می‌باشد که در دشت مشهد و در میان دو رشته کوه بینالود و هزار مسجد قرار گرفته است. محدوده عرض جغرافیایی منطقه مورد مطالعه ۳۶ تا ۳۷ درجه شمالی و محدود طول جغرافیایی از ۳۰ و ۵۸ تا ۶۰ درجه شرقی را در بر می‌گیرد (شکل ۱). مساحت تقریبی این محدوده حدود ۱۳۰۰ کیلومتر مربع می‌باشد. مهمترین شهرهای منطقه مطالعاتی شامل مشهد، نیشابور، چهاران، گلمکان و کلات می‌باشد.

داده‌ها

در این مطالعه از آمار هواشناسی ۹ ایستگاه سینوپتیک استفاده شده است. ایستگاه‌های گلمکان، مشهد و نیشابور در داخل محدوده مورد مطالعه و سایر ایستگاه‌ها در خارج از آن محدوده قرار دارند. لیست ایستگاه‌های مورد استفاده در جدول ۱ و موقعیت جغرافیایی آنها در شکل ۱ نشان داده شده است.

- داده‌های هواشناختی مورداستفاده عبارت بودند از:
- دمای حداقل هوا

داده‌های جغرافیایی

- ارتفاع از سطح دریا، عرض جغرافیایی، طول جغرافیایی، جهت شیب، میزان شیب و روز از سال. برای کمی کردن روز سال براساس تاریخ میلادی عدد ۱ برای اول ژانویه در نظر گرفته شد و برای روزهای بعدی سال نیز اعداد ۲ و ۳ و ... استفاده شد. روز شماره‌ای یخ‌بندانهای ۳۱ فروردین ۱۳۸۲، ۸ و ۱۹ فروردین ۱۳۸۴ معادل ۱۱۰، ۶۸ و ۹۷ تعیین گردید.

داده‌های خسارت یخ‌بندان

برای تعیین میزان خسارت ناشی از یخ‌بندان بهاره بر روی محصول سبب برای هر یخ‌بندان سطح خسارت دیده بر حسب هکتار تعیین و بر میزان کل سطح باغات سبب تقسیم و درصد ضرب گردید.

روش مطالعه

نمودار روش مطالعه در شکل ۲ نشان داده شده است. در مطالعه حاضر به منظور تفکیک یخ‌بندانهای تابشی از یخ‌بندانهای انتقالی به عوامل متعددی از جمله سرعت باد، ابرناکی و وارونگی دمایی توجه شد. برای تعیین وجود وارونگی دمایی که ویژگی یخ‌بندانهای تابشی می‌باشد نیاز به وجود داده‌های دمایی هوا در ارتفاعات مختلف از سطح زمین است. این داده‌ها در گزارش‌های دریافتی از رادیوسوند موجود می‌باشد. تنها ایستگاه جو بالای محدوده مطالعاتی ایستگاه جو بالای مشهد می‌باشد.

تعداد ۱۳ یخ‌بندان در سال ۱۳۸۲ و ۱۳۸۴ در خراسان رضوی اتفاق افتاده بود که در جدول ۲ نشان داده شده است. در سال ۱۳۸۳ یخ‌بندان زیانبخش دیررس بهاره در منطقه اتفاق نیافتداده بود. دمای حداقل رخ داده در ۳ ایستگاه داخل محدوده مطالعه در جدول ۲ نشان داده شده است.

از مدلی که توسط سی ساریو و همکاران (۷) برای تعیین نیازهای تجمیعی سرمایی و پیش‌بینی زمان گلدهی برخی از گونه‌های درختی در ایتالیا بکار رفته، استفاده شده است. منظور از درجه روز تجمیعی در اینجا، میزان درجه روز تجمیعی از زمان ریزش برگ تا زمان وقوع یخ‌بندان در آن سال مشخص بوده است. برای تعیین آستانه دمایی کمینه (T_c) و واحدهای حرارتی تجمیعی (Cr) برای واریته گلدن ۵ حالت برای T_c شامل ۴، ۵، ۶ و ۷ درجه سانتیگراد و ۱۱ حالت برای Cr شامل ۱۳۰، ۱۳۵، ۱۴۰، ۱۴۵، ۱۵۰، ۱۵۵، ۱۶۰ و ۱۶۵ در درجه سانتیگراد و ۱۱۰ و ۱۷۵ در درجه ریزش برگ درخت سبب و نیز تاریخهای شکوفه دهی سبب از سالهای ۱۳۸۱ تا ۱۳۸۶ برای آموزش مدل پیش‌بینی گلدهی مورد استفاده قرار گرفت. برای محاسبات یک برنامه کامپیوتی به زبان فرتون نوشته شد.

در این آزمون از میان ۲۰ ترکیب مختلف Cr و T_c و مقایسه ریشه میانگین مربعات خطأ (RMSE) آنها، ترکیب $Cr = -150$ و $T_c = 5$ با $RMSE = 5$ حالت دیگر به عنوان ترکیب مناسب و معنی دار در سطح ۹۵ درصد انتخاب گردید. همچنین برای سال ۱۳۸۷، زمان گلدهی سبب با استفاده از مدل گفته شده و با لحظه کردن $Cr = 5$ و $T_c = 5$ انجام گردید. تاریخ پیش‌بینی شده بر اساس مدل ۱۳ فروردین ۸۷ تعیین گردید. زمان واقعی گلدهی ۱۶ فروردین ۸۷ بود. اختلاف ۳ روز بین مقدار پیش‌بینی شده و واقعی مشاهده گردید.

میزان واحدهای تجمیعی سرمایی سه تاریخ یخ‌بندان انتخاب شده برای ایستگاه‌های منطقه مطالعاتی با این روش و با در نظر گرفتن صورت گرفت. زمان مرجع مورد استفاده برای محاسبه میزان تجمیعی واحدهای سرمایی، تاریخ ریزش برگ می‌باشد. طی سالهای ۱۳۸۱ تا ۱۳۸۶ زمان ریزش برگ از ۲۹ مهر تا ۳۱ آبان برای ایستگاه گلمکان مشاهده شده است. تاریخ میانگین ریزش برگ را ۱۵ مهر در نظر گرفته و میزان واحدهای تجمیعی سرمایی از ۱۵ مهر تا تاریخ رخداد یخ‌بندان مورد محاسبه قرار گرفت.

جدول ۱- اسامی ایستگاه‌های هواشناسی مورد استفاده

نام ایستگاه	ارتفاع از سطح دریا (متر)	طول جغرافیایی	عرض جغرافیایی	طول دوره آماری	طول دوره (سال)
گلستان	۱۱۷۶	۵۹/۲۸	۳۶/۴۸	۱۳۶۳-۱۳۸۵	۲۳
مشهد	۹۹۰	۵۹/۶۳	۳۶/۲۵	۱۳۲۸-۱۳۸۵	۵۸
نیشابور	۱۲۱۳	۵۸/۸۰	۳۶/۲۷	۱۳۶۹-۱۳۸۵	۱۷
سیزوار	۹۷۷/۶	۵۷/۷۲	۳۶/۲	۱۳۳۳-۱۳۸۵	۵۳
قوچان	۱۲۸۷	۵۸/۵	۳۷/۰۷	۱۳۶۲-۱۳۸۵	۲۴
سرخس	۲۳۵	۶۱/۱۷	۳۶/۵۳	۱۳۶۳-۱۳۸۵	۲۳
تریت حیدریه	۱۴۵۰/۸	۵۹/۲۲	۳۵/۲۷	۱۳۳۷-۱۳۸۵	۴۹
تریت جام	۹۵۰/۴	۶۰/۵۸	۳۵/۲۵	۱۳۷۱-۱۳۸۵	۱۵
کاشمر	۱۱۰/۷	۵۸/۴۷	۲۵/۲	۱۳۶۴-۱۳۸۵	۲۲

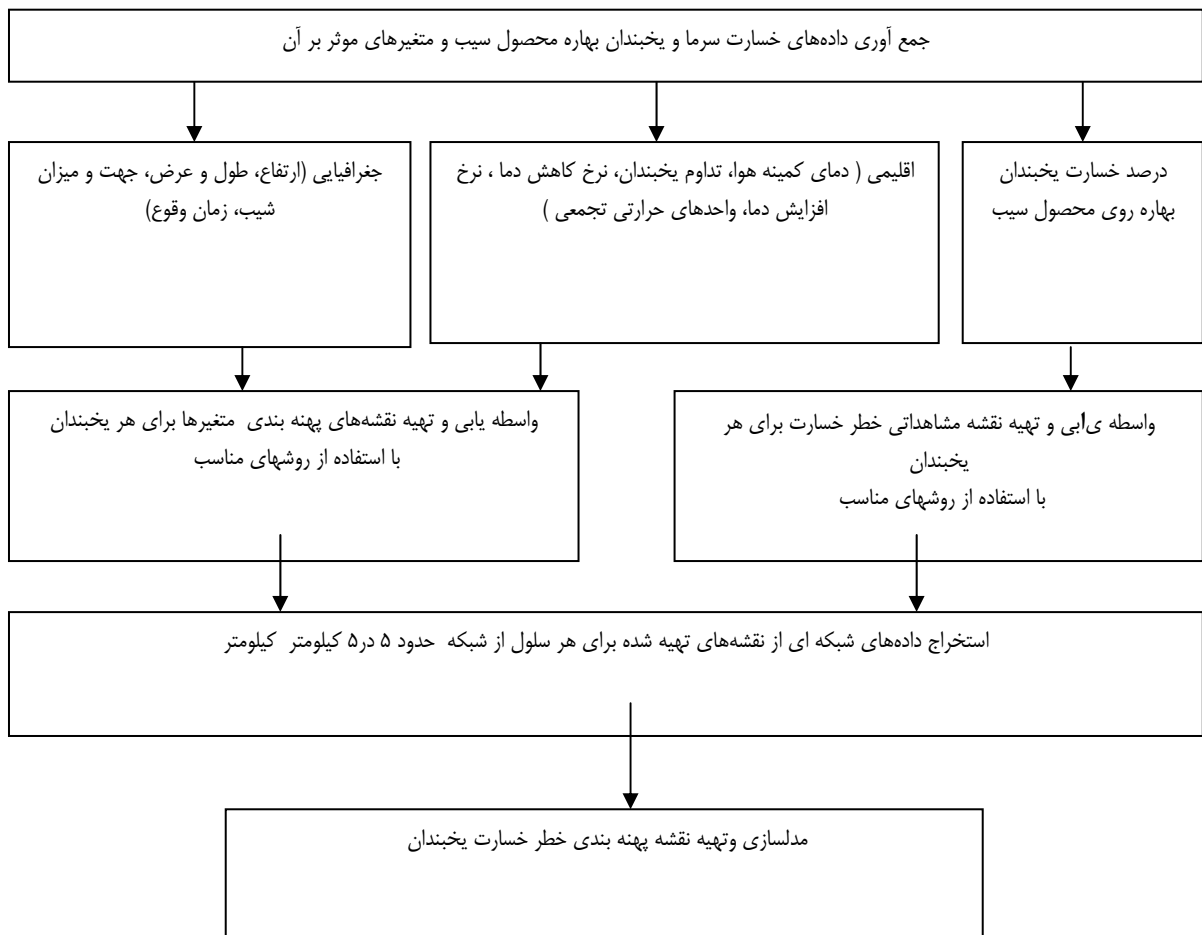
۱۸؛ ۹؛ ۱۹ فروردین ۱۳۸۴ به عنوان شباهی یخبندان تابشی انتخاب گردیدند. هر پنج رویداد یخبندان دارای شرایط یخبندان تابشی که همانا وجود وارونگی دمایی، پوشش ابر کمتر از چهار هشتم و سرعت باد کمتر از $1/5$ متر بر ثانیه است، می باشد. موقع خسارت یخبندان بر روی محصول سیب در روزهای ۳۱ فروردین ۸۲ و نیز ۸ و ۱۹ فروردین ۸۴ اعلام شده است. بنابراین سه روز گفته شده به عنوان روزهای یخبندان زیانبخش مورد مطالعه انتخاب شدند.

بعد از تعیین و انتخاب ۳ یخبندان تابشی، نقشه پهنه بندی کلیه متغیرها برای منطقه مورد مطالعه برای هر رویداد یخبندان انجام گردید. پهنه بندی به این منظور انجام شد تا تعداد کافی داده های ورودی برای رگرسیون در اختیار قرار گیرد.

کمترین دما مربوط به روز ۸ فروردین ۱۳۸۴ می باشد. بر اساس مطالعاتی که طی سالهای ۱۳۷۹ تا ۱۳۸۶ در ایستگاه هواشناسی کشاورزی گلمند صورت گرفته است تاریخ گلدهی سیب رقم گلدن از ۵ تا ۳۰ فروردین متفاوت بوده است. یکی از معیارهای انتخاب یخبندانهای زیانبخش قرار گرفتن تاریخ وقوع یخبندان در این محدوده زمانی بوده است.

برای تعیین وجود و یا عدم وجود وارونگی دما گزارش های دریافتی از رادیوسوند نیمه شب (ساعت ۰۰ GMT) طی روزهای گفته شده مورد استفاده قرار گرفت. به همین منظور شباهی با پوشش ابر کمتر از چهار هشتم و سرعت باد کمتر از $1/5$ متر بر ثانیه نیز به عنوان شباهی یخبندان تابشی انتخاب شدند.

بر این اساس پنج یخبندان در روزهای ۳۱ فروردین ۱۳۸۲ و نیز



شکل ۲- روش پژوهش

جدول ۲- یخبندانهای زیانبخش بهاره در منطقه مورد مطالعه در سال ۱۳۸۲ و ۱۳۸۴

ردیف	سال	روز	دما _ی	وارونگی	دما _ی	نوع	خسارت روی	سبب				
			مشهد	نمکان	نیشابور	یخبندان	سبب	دما _ی				
۱	۱۳۸۲	۳۰	عادی	-۰/۶	-۱	.	انتقالی	-۱	-۰/۶	فروردين	زیانبخش	+
۲	۱۳۸۲	۳۱	وارونگی	-۱	-۱/۶	.	تابشی	-۱/۶	-۰/۶	فروردين	زیانبخش	+
۳	۱۳۸۲	۱	عادی	-۱	-۰/۸	۲	انتقالی	-۰/۸	-۰/۸	اردیبهشت	زیانبخش	+
۴	۱۳۸۴	۱۲۸۴	عادی	۱	-۱/۶	۰/۶	انتقالی	-۱/۶	-۰/۶	فروردين	زیانبخش	+
۵	۱۳۸۴	۱۲۸۴	عادی	-۱/۴	-۳	-۰/۸	انتقالی	-۰/۸	-۰/۸	فروردين	زیانبخش	+
۶	۱۳۸۴	۱۲۸۴	وارونگی	-۵/۴	-۴/۴	-۷/۲	تابشی	-۷/۲	-۰/۶	فروردين	زیانبخش	-
۷	۱۳۸۴	۹	وارونگی	۰	-۰/۶	-۱/۸	تابشی	-۱/۸	-۰/۶	فروردين	زیانبخش	-
۸	۱۳۸۴	۱۲۸۴	عادی	۳/۲	۰	-۰/۲	انتقالی	-۰/۲	-۰/۲	فروردين	زیانبخش	-
۹	۱۳۸۴	۱۲۸۴	وارونگی	۰/۸	-۱	-۱/۶	تابشی	-۱/۶	-۰/۶	فروردين	زیانبخش	+
۱۰	۱۳۸۴	۱۲۸۴	وارونگی	-۰/۶	-۳	-۳/۲	تابشی	-۳/۲	-۰/۶	فروردين	زیانبخش	+
۱۱	۱۳۸۴	۱۲۸۴	عادی	-۱	-۲/۶	-۲/۲	انتقالی	-۲/۲	-۰/۶	فروردين	زیانبخش	+
۱۲	۱۳۸۴	۱۲۸۴	عادی	۱	-۱/۶	-۳/۴	انتقالی	-۳/۴	-۰/۸	فروردين	زیانبخش	+
۱۳	۱۳۸۴	۱۲۸۴	عادی	۱/۶	-۰/۸	-۱/۸	انتقالی	-۱/۸	-۰/۸	فروردين	زیانبخش	+

مقادیر هر متغیر ورودی و نیز متغیر خروجی در روی هر یک از نقاط تقاطع خطوط استخراج و در جدولی ثبت گردید. کل تعداد نقاط شبکه ۶۰۹ نقطه را شامل گردید. برای هر یخبندان (کلا "۳ یخبندان) شبکه فرضی شامل همان نقاط بود و در نهایت تعداد کل نقاط اطلاعاتی برای تحلیل رگرسیون 1653×551 (۳×۵۵۱) نقطه را شامل گردید. برای ۱۲ متغیر ورودی و یک متغیر خروجی (کلا "۱۳ متغیر) با ۱۶۵۳ ردیف تعداد کل داده‌های قابل تحلیل 21489×1653 (۲۱۴۸۹) را شامل شدند.

برای کمی سازی خطر وقوع خسارت، بایستی عوامل فوق الذکر کمی سازی می‌شد. برای تعیین میزان تأثیر هر کدام از این عوامل روش‌های آماری مختلف وجود دارد که مهمترین آنها روش رگرسیون چند متغیره می‌باشد (۴). برای بررسی وجود رابطه همبستگی بین متغیرهای مستقل و وابسته از آزمون دو طرفه و ضریب همبستگی پیرسون استفاده گردید.

برای تعیین ضرایب از روش‌های جبری، جلوگرد، عقب گرد و گام به گام (۴) استفاده گردید. مقدار خطای کلی هر چهار روش بر اساس میزان جذر میانگین مربعات خطای RMSE^۳ آن محاسبه و روش با کمترین میزان RMSE به عنوان روش مناسبتر انتخاب گردید. بدین ترتیب خطر خسارت با استفاده روش تحلیل رگرسیون جبری برای هر سه رویداد یخبندان با استفاده از معادله به دست آمده برای هر نقطه از شبکه فرضی برآورد گردید. بعد از برآورد خطر خسارت برای هر یخبندان و با استفاده از اطلاعات برآورد شده هر نقطه از شبکه فرضی نقشه خطر خسارت برآورد شده به روش IDW

نقشه‌های تهیه شده برای متغیرهای موثر به عنوان ورودی‌های مدل و درصد خسارت یخبندان به عنوان خروجی مدل با استفاده از سه روش پنهانه بندی وزن دهنده معکوس فاصله (IDW)^۱، Spline و روش کریجینگ (۴) انجام گردید و با مقایسه نقشه‌های تهیه شده برای ۳ روش، روش IDW انتخاب گردید. نقشه ارتفاع، جهت و میزان شبکه در محدوده مورد مطالعه با قدرت تفکیک فضایی در ۹۰ متر تهیه گردید. کلیه این نقشه‌ها از روی نقشه‌های ماهواره راداری SRTM^۲ به دست آمد.

از ۱۳ سری داده، نقشه طول جغرافیایی، عرض جغرافیایی، ارتفاع از سطح آزاد آبها، جهت و میزان شبکه از روی نقشه مدل رقومی زمین استخراج گردید و برای هر سه رویداد یخبندان یکسان بود. برای متغیر روز وقوع یخبندان که برای کل محدوده مورد مطالعه یک عدد ثابتی برای هر یخبندان بود، نقشه‌ای تهیه نگردید. برای ۷ سری دیگر (خطر خسارت یخبندان، واحدهای حرارتی، دمای کمینه، طول مدت زیر صفر، سطح محصور، نرخ کاهش و نرخ افزایش دما) نقشه‌های پنهانه بندی تهیه گردید.

سپس یک شبکه فرضی شامل نقاط با فاصله ۵ کیلومتر در ۵ کیلومتر بر روی هر نقشه قرار گرفت. در این حالت محور طول جغرافیایی به ۲۸ قسمت و محور عرض جغرافیایی به ۱۸ قسمت با فواصل مساوی تقسیم گردید. با توجه به ابعاد محدوده مورد مطالعه تعداد کل نقاط شبکه ۵۵۱ عدد (۲۹ در ۱۹) به دست آمد. سپس

1- Inversed Distance Weighting

2-Shuttle Radar Topography

Mission(<http://www2.jpl.nasa.gov/srtm/>)

خسارت است. هرچقدر سطح محصور بیشتر باشد میزان خسارت نیز بیشتر می‌باشد. سطح محصور زمانی بیشترین مقدار را خواهد داشت که هم دمای حداقل پایین تر باشد و هم طول مدت زمان زیر صفر بیشتر باشد. البته هر کدام از این دو جزء نیز به تنها می‌توانند در بالا بودن سطح محصور نقش داشته باشند. متغیر بعدی طول مدت زیر صفر می‌باشد. میزان ضریب همبستگی این متغیر با خطر خسارت یخبندان به عنوان متغیر وابسته برابر با 0.864 می‌باشد. این عدد نشانده‌نده تأثیر مستقیم طول مدت زیر صفر در میزان خسارت یخبندان می‌باشد. اشنایدر(۱۶) نیز بر این اعتقاد می‌باشد. هر چقدر طول مدت زمانی که دمای هوا زیر نقطه یخ‌بندان قرار بگیرد، بیشتر باشد به همان اندازه نیز میزان خسارت یخبندان بیشتر خواهد بود. مدت زمان قرار گرفتن در شرایط آسیب هرچه بیشتر باشد آسیب نیز بیشتر خواهد بود. هرچقدر که اندامهای گیاه بیشتر در شرایط یخبندان قرار گیرند در شرایط یخبندان برون سلولی میزان بیشتری آب از داخل سلول به فضای بین سلولی وارد شده و از فضای زیر روزنه، تبخیر خواهد گردید و گیاه دچار خسارت‌های بعدی خواهد گردید. در مورد یخبندان درون سلولی نیز هرچقدر که گیاه به مدت زمان بیشتری در شرایط یخبندان قرار گیرد بر وسعت و حجم بخش‌های یخ زده در داخل سلول افزوده خواهد شد. نرخ کاهش دما قبل از یخبندان دارای ضریب همبستگی معادل با -0.549 می‌باشد. خطر خسارت یخبندان دارد. بر این اساس هرچه نرخ کاهش دما قبل از یخبندان کمتر باشد میزان خسارت یخبندان بیشتر خواهد بود. به عبارتی هرچقدر این کاهش تدریجی باشد میزان خسارت بیشتر می‌باشد. تحقیق معتبری در خصوص تأثیر میزان نرخ کاهش دما قبل از یخبندان بر روی خطر خسارت یخبندان مشاهده نگردید. حتی اشنایدر(۱۶) نیز به این مسئله اشاره نموده است که تا بحال در این مورد نتیجه تایید شده ای وجود ندارد. آنچه که به نظر می‌رسد در این رابطه به عنوان یک توجیه منطقی اشاره شود رابطه ای است که میان نرخ کاهش دما با سطح محصور می‌تواند ارایه نمود. هر چقدر که دما با نرخ کمتری کاهش یابد برای رسیدن به یک دمای حداقل معین زمان بیشتری را زیر صفر درجه سانتیگراد خواهد بود و لذا سطح محصور بیشتر خواهد بود.

هفتمن متغير مستقل که با سطح اعتماد ۹۹ درصد دارای ضریب همبستگی -0.431 نسبت به متغیر وابسته خطر خسارت یخبندان بهاره می‌باشد، واحدهای حرارتی تجمعی می‌باشد. با توجه به ضریب همبستگی معلوم می‌شود که هرچقدر واحدهای حرارتی کمتری تجمع یابد، میزان خطر خسارت یخبندان بهاره بیشتر خواهد بود. تجمع کم واحدهای حرارتی زمان اتفاق می‌افتد که زمستان گرمتر و بهار سردتری داشته باشیم که منجر به کاهش واحدهای سرمایی در زمستان و کاهش واحدهای گرمایی در بهار شود. زمستان گرمتر و بهار سردتر باعث افزایش خطر خسارت یخبندان می‌شوند چرا زمستان گرمتر باعث زودتر آغاز شدن فصل رشد و شروع فعالیتهای زیستی

تهیه گردید. به منظور بررسی وجود همبستگی میان این دو نقشه با استفاده از نرم افزار IDRISI معادله رگرسیونی و نیز ضریب همبستگی و تبیین هر معادله برای هر یخبندان به دست آمد.

نتایج و بحث

بیشترین ضریب همبستگی میان خطر خسارت یخبندان با دمای حداقل و به میزان 0.867 می‌باشد و به این معنی است که هرچقدر میزان دمای حداقل کمتر باشد یا به عبارتی یخبندان شدیدتر باشد خطر خسارت یخبندان بیشتر خواهد بود. در بسیاری از منابع نیز تأثیر دمایی پایین تر در افزایش میزان خسارت یخبندان بر محصولات کشاورزی اشاره شده است. نرخ افزایش دما که در واقع شبی خط افزایش دما بعد از وقوع یخبندان از ساعت ۶ صبح تا ۳ بعد از ظهر می‌باشد نیز تأثیر مستقیم بر روی خطر خسارت یخبندان دارد. به این معنی که هرچقدر سرعت افزایش دما بعد از یخبندان سریعتر باشد میزان خسارت یخبندان بر روی محصول بیشتر می‌باشد. اشنایدر(۱۶) و ریربیو و همکاران(۱۴) نیز به همین نتیجه رسیده اند. علت این امر این است که ذوب شدن آرام بخ. سرعت از دست دادن آب سلولهایی را که دچار یخبندان برون سلولی شده اند کاهش می‌دهد و می‌تواند خسارت ناشی از ذوب شدن سریع را کاهش دهد. به عبارتی هر چقدر افزایش دما بعد از وقوع یخبندان تدریجی و به آرامی صورت گیرد توانایی برای بازیابی خود و ترمیم باقهای خسارت بیشتر خواهد بود. نظر به اینکه میزان خسارت یخبندان بر روی محصول حدود ۴ یا ۵ روز بعد از یخبندان معلوم می‌شود و نرخ افزایش دما تحت چند ساعت بعد از وقوع یخبندان نگه دارند. متغیر بعد از وقوع خسارت یخبندان دارد. این ضریب نشانده‌نده اینست که هر چه میزان متغیر روز شمار بیشتر باشد ، یعنی یخبندان دیرتر اتفاق افتاده باشد، خطر خسارت یخبندان کمتر است. محدوده زمانی در این مطالعه اول تا آخر فروردین می‌باشد. همانطوریکه اشاره شد زمان گلدهی حساسترین مرحله رشد گیاه نسبت به خسارت یخبندان می‌باشد. با گذشت زمان مقاومت گیاه به سرما افزایش یافته و میزان خطر خسارت یخبندان بر روی محصول کمتر می‌شود.

چهارمین متغیر مستقل موثر بر خطر خسارت یخبندان، سطح محصور بین منحنی دمای روزانه با خط صفر درجه سانتیگراد می‌باشد که دارای ضریب همبستگی برابر 0.773 با خطر خسارت یخبندان می‌باشد. این موضوع نشانده‌نده تأثیر مستقیم سطح محصور بامیزان

ارتفاع و جهت شیب توسط مدل درنظر گرفته شدند. مقایسه ضرایب همبستگی روش‌های مختلف تحلیل رگرسیون چند متغیره و RMSE در جدول ۴ نشان می‌دهد که مقادیر خطأ و ضریب همبستگی در هر ۴ روش بسیار نزدیک به هم هستند. که برای ساده سازی و حذف متغیرهای غیر معنی دار روش گام به گام مورد استفاده قرار گرفت.

معادله زیر رابطه رگرسیون خطی مناسب برای پیش‌بینی خطر خسارت یخ‌بندان بهاره محصول سیب را ارایه گردید:

$$1.77TM+16.9 \quad IN-2.02JD-0.75AR--FDR=325.59 \\ 8.9DE+0.11DD-2.64X+1.79Y$$

که در آن TM: دمای حداقل، IN : نرخ افزایش دما، JD: روزشمار، AR: سطح محصور، DE: نرخ کاهش دما، DD : درجه روز، X: طول جغرافیایی و Y : عرض جغرافیایی می‌باشد. مقدار ضریب همبستگی معادله برابر با 0.098 و ضریب تعیین برابر با 0.99 می‌باشد. بعد از اینکه مشخص گردید روش رگرسیون خطی چند متغیره روش مناسبتر برای مدلسازی خطر خسارت یخ‌بندان می‌باشد خطر خسارت با استفاده روش تحلیل رگرسیون جبری برای هر سه رویداد یخ‌بندان با استفاده از معادله به دست آمده برای هر نقطه از شبکه فرضی برآورده گردید و سپس نقشه خطر خسارت به روش IDW تهیه گردید. همچنین اختلاف مقدار برآورده شده و انفاق افتاده خطر خسارت یخ‌بندان برای هر نقطه از شبکه فرضی نیز محاسبه گردید و نقشه خطای برآورده رگرسیون نیز ترسیم گردید. در اشکال ۳-الف تا ۷ نقشه خطر خسارت یخ‌بندان مشاهده شده نقشه خطر خسارت یخ‌بندان برآورده شده و نیز نقشه میزان خطای رگرسیون در این برآورده برای یخ‌بندان روز ۳۱ فروردین ۱۳۸۲ به روش IDW نشان داده شده است. همانطوریکه از شکل ۳-الف مشخص است، کمترین خسارت در محدوده مورد مطالعه در ۳۱ فروردین ۱۳۸۲ در جنوب شرق منطقه مورد مطالعه (مشهد) رخ داده است. منطقه جنوب غربی بیشترین خسارت بر روی محصول سیب وارد شده است.

در نقشه برآورده شده (شکل ۳-ج) نیز بیشترین خسارت در شهرهای جنوب‌غربی (نیشابور) و کمترین مقدار خسارت در جنوب‌شرقی ملاحظه می‌شود. برای دو رویداد یخ‌بندان دیگر نیز یعنی ۸ و ۱۹ فروردین ۱۳۸۴ نیز این نقشه‌ها تهیه شدند. در جدول ۱۳ مشخصات کلیه این نقشه‌ها اعم از مقادیر حداقل، حداکثر، میانگین و نیز انحراف معیار ارایه شده است. بر اساس شکل ۳-ج میزان خطای برآورده خسارت حدود ۵ درصد کمتر یا بیشتر از مقدار مشاهده شده خطر خسارت می‌باشد. خطای مثبت (برآورده بیش از مقدار مشاهده شده) در مناطق مرکزی محدوده مورد مطالعه و خطای منفی (برآورده کمتر از مقدار مشاهده شده) در مناطق جنوب‌غربی محدوده مورد مطالعه مشاهده گردیده است. مشخصات این نقشه‌ها در جدول ۵ نشان داده شده است. همبستگی میان نقشه خطر خسارت یخ‌بندان واقعی (متغیر مستقل: X) و برآورده شده (متغیر وابسته: Y) به منظور تعیین معادله

محصول می‌شوند و موقع یخ‌بندانهای دیررس بهاره در بهار سرد باعث ایجاد یخ‌بندان بشود. از نظر طول جغرافیایی هرچقدر که طول جغرافیایی زیاد می‌شود خطر وقوع خسارت کمتر می‌شود. ضریب این همبستگی برابر با -0.43 می‌باشد که در سطح اعتماد ۹۹ درصد معنی دار می‌باشد. ضریب همبستگی میان ارتفاع از سطح دریا و خطر خسارت یخ‌بندان 141.0 می‌باشد که در سطح 95 درصد معنی دار می‌باشد. هر چقدر که ارتفاع افزایش می‌باشد خطر خسارت یخ‌بندان نیز افزایش می‌یابد. با افزایش ارتفاع از سطح زمین دمای هوا کاسته می‌شود(قاعده کلی در تروپوسفر) همچنین طول دوره یخ‌بندان در این مناطق نسبت به مناطق پست و کم ارتفاع طولانی بوده و بالعکس طول دوره بدون یخ‌بندان کمتر است. یخ‌بندانهای دیررس بهاره در مناطق مرتفع دیرتر از مناطق کم ارتفاع رخ می‌دهند و یخ‌بندانهای زودرس پاییزه نیز زودتر رخ می‌دهند لذا محصولات مدت طولانی تری در معرض خطر خسارت یخ‌بندان قرار می‌گیرند. اشتایدر (۱۶) نیز به این موضوع اشاره نموده است. هم چین لافلین (۱۰) افزایش خطر آسیب یخ‌بندان را بر روی محصولات کشاورزی با افزایش ارتفاع نتیجه گرفته است. بر این اساس مرتفع ترین نقاط قابل کشت سیب، پر خطر ترین و کم ارتفاع ترین مناطق، کم خطر ترین مناطق کاشت سیب محسوب می‌شوند. ولی در مناطقی که دامنه ارتفاعی به یک دره V ، U شکل متنه می‌گردد موضوع فرق می‌کند؛ چرا که این مناطق محل تجمع هوای سرد محسوب شده و سرچال‌های را به وجود می‌آورند که در شرایط یخ‌بندان تابشی هوای سرد به صورت یک سیال در آن مناطق تجمع می‌یابد و در صورتیکه محصول در این مناطق کاشته شود شدیداً دچار خسارت می‌شوند (۱۰).

بین مقدار عرض جغرافیایی، میزان شیب و جهت شیب با خطر خسارت بین بندان ارتباط معنی داری مشاهده نشد. هیجمس (۸) نیز در مطالعه مربوط به تعیین مناطق مناسب کاشت برای سیب زمینی در پرو به این نتیجه رسید که میزان شیب تأثیر معنی داری در افزایش یا کاهش خطر خسارت یخ‌بندان ندارد. تأثیر مقدار عرض جغرافیایی، میزان و جهت شیب بیشتر در مقیاس محلی و ریز مقیاس مهم و قابل ملاحظه می‌باشد. با توجه به مقیاس مورد نظر در این مطالعه که میان مقیاس می‌باشد، تنوع و تغییرات این متغیرها در سطح زیاد بوده و باعث عدم معنی داری روابط گردیده است.

در جدول ۳ ضرایب معادله رگرسیون با چند روش نشان داده شده است. در مدل گام به گام در ابتدا مهمترین متغیر مستقل که اثر آن در معادله بیشترین مقدار است وارد محاسبات می‌شود که در حقیقت کمترین مقدار آماره F را به خود اختصاص داده بود. اولین میزان دمای حداقل بود که بیشترین تأثیر را در میزان خطر خسارت یخ‌بندان باعث می‌شود. دومین متغیر مستقل موثر طول جغرافیایی بود. در گام‌های بعد نیز به ترتیب اهمیت متغیرهای نرخ افزایش دما، روز شمار، درجه روز، مساحت زیر صفر، نرخ کاهش دما، عرض جغرافیایی،

خطر خسارت یخبندان مشاهده شده و X خطر خسارت یخبندان برآورد شده می باشد.

رگرسیون و تعیین وجود رابطه احتمالی میان این دو نقشه با استفاده از نرم افزار IDRISI محاسبه و در جدول ۶ نشان داده شده است. Y

جدول ۳- ضریب همبستگی و RMSE روش های تحلیل رگرسیون

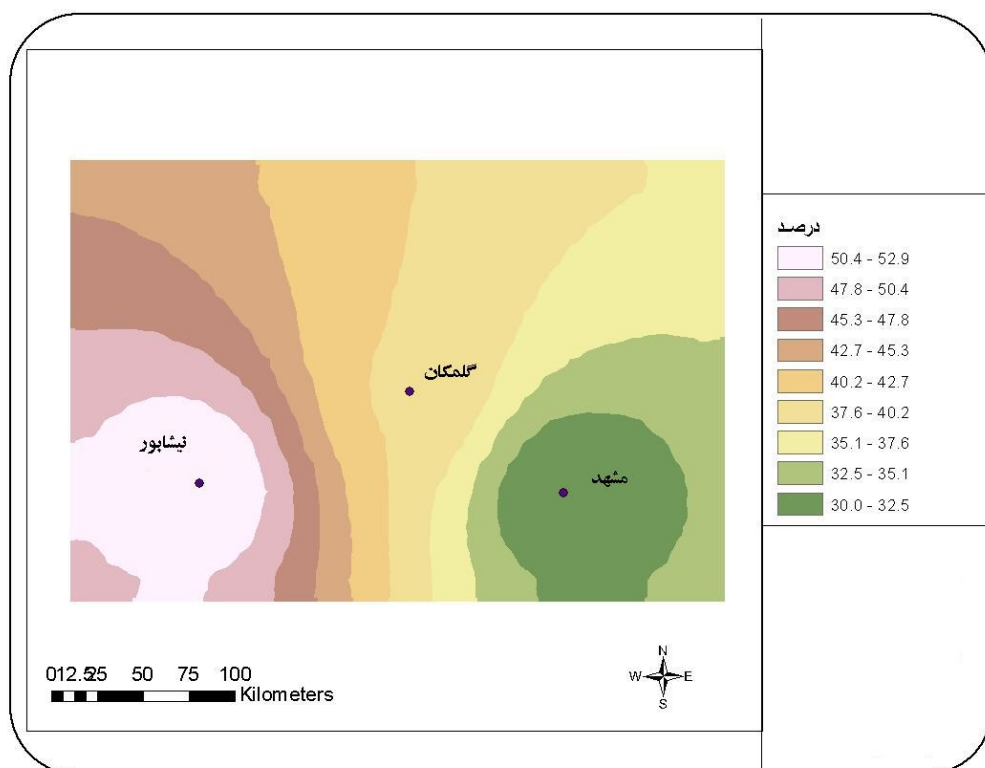
روش تحلیل	ضریب همبستگی	RMSE
جبری	.۹۹۳	۱/۶۱۲۳
جلوگرد	.۹۹۳	۱/۶۱۲۳
عقب گرد	.۹۹۳	۱/۶۱۲۴
گام به گام	.۹۹۳	۱/۶۱۲۴

جدول ۴- ضرایب معادله رگرسیون برای روش های مختلف

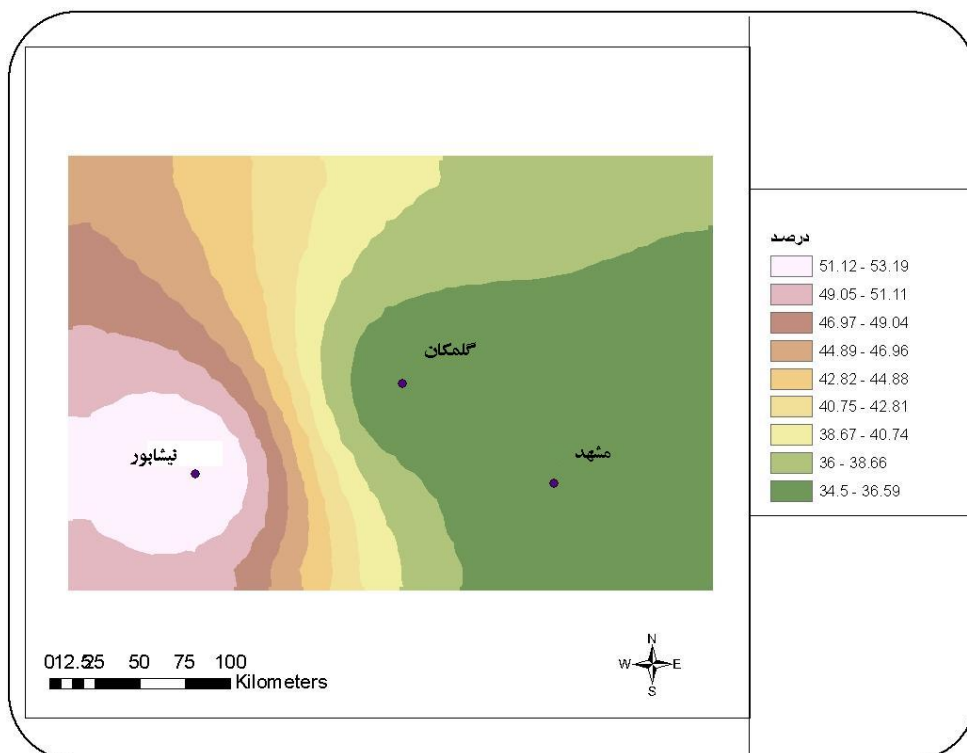
متغیر	روش			
	رگرسیون جبری	رگرسیون عقب گرد	رگرسیون گرد	گام به گام
(تک حذفی)				(دو حذفی)
مقدار ثابت	۳۲۵/۵۸۷	۳۲۵/۵۷۸	۳۳۱/۰۳۷	۳۳۳/۲۴۵
طول جغرافیایی	-۲/۶۳۹	-۲/۶۳۹	-۲/۶۹۱	-۲/۷۲۲
عرض جغرافیایی	۱/۷۹۹	۱/۷۹۹	۱/۷۵۶	۱/۷۴۴
ارتفاع از سطح دریا
جهت شیب	-۰/۰۰۱	-۰/۰۰۱	-۰/۰۰۱	-۰/۰۰۱
زوایه شیب	حذف	حذف	حذف	۰/۰۰۵
دما حداقل	۱/۷۷	۱/۷۷۰	۱/۷۷۴	۱/۷۷۳
نرخ افزایش دما بعد از یخبندان	۱۶/۹۰۵	۱۶/۹۰۵	۱۶/۷۱۵	۱۶/۷۰۵
نرخ کاهش دما قبل از یخبندان	-۸/۸۲۶	-۸/۸۲۶	-۸/۹۰۵	-۸/۸۹۶
مساحت بین منحنی دما و خط صفر درجه	-۰/۷۴۸	-۰/۷۴۸	-۰/۷۵۷	-۰/۷۵۷
طول مدت زیر صفر	حذف	حذف	۰/۰۱۷	۰/۰۱۷
درجه روز	۰/۱۱	۰/۱۱۰	۰/۱۱۰	۰/۱۱۰
روز شمار	-۲/۰۱۴	-۲/۰۱۴	-۲/۰۲۱	-۲/۰۱۹
درجه آزادی معادله	۱۰	۱۰	۱۱	۱۲
ضریب همبستگی	.۹۹۳	.۹۹	.۹۹	.۹۹۳

جدول ۵- مقادیر حداقل، حداکثر، میانگین و نیز انحراف معیار نقشه ها

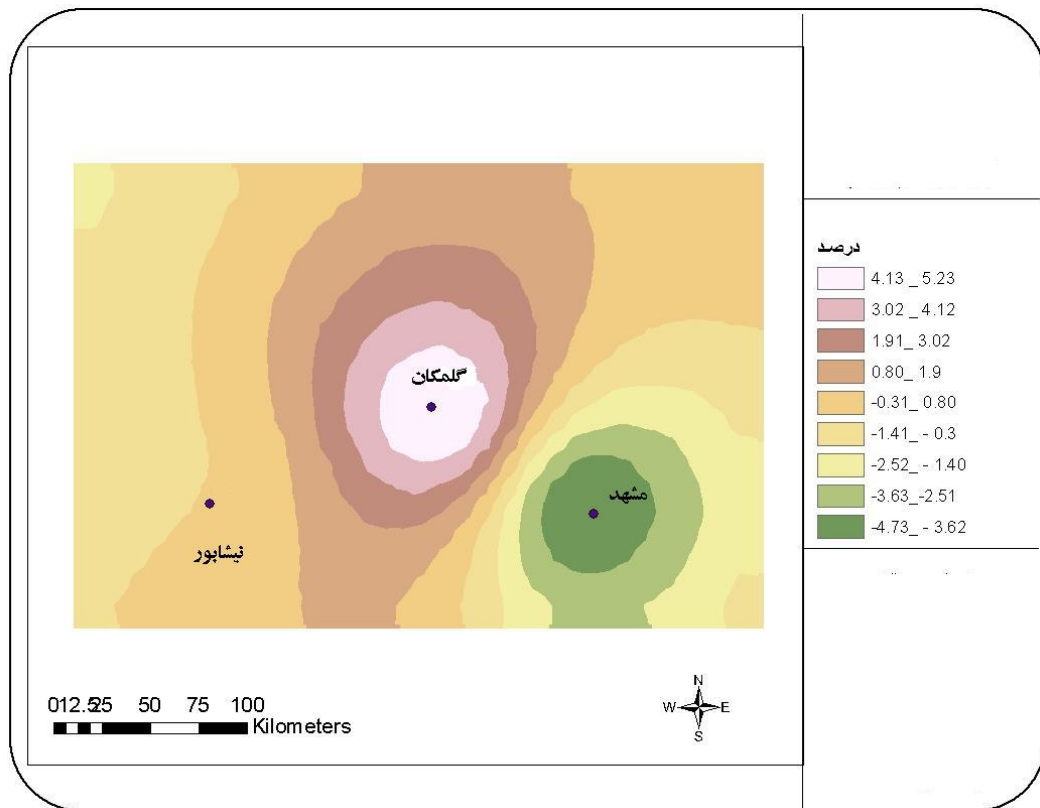
۱۹ فروردین ۸۲				۸۲ فروردین				۳۱ فروردین ۸۲				Tarix
خطای برآورد	برآورد رگرسیون چند متغیره	مشاهده شده	خطای برآورد	برآورد رگرسیون چند متغیره	مشاهده شده	خطای برآورد	مشاهده شده	برآورد رگرسیون چند متغیره	مشاهده شده	مشاهده رگرسیون چند متغیره	Mqader	Mqader در نقشه
-۲/۴۶	۴۰/۴۳	۳۸/۰۷	-۳/۵۸	۵۹/۶۴	۶۲/۰۲	-۴/۷۳	۳۴/۵۲	۳۰/۰۴	حداقل			
۲/۸۸	۶۶/۴۷	۶۷/۹۷	-۴/۵۴	۸۰/۵۳	۷۶/۹۸	۵/۲۳	۵۳/۱۹	۵۲/۹۷	حداکثر			
۰/۵۱	۵۴/۳۵	۵۴/۸۶	۰/۲۴	۶۸/۷۱	۶۸/۹۵	۰/۱۴	۴۰/۸۱	۴۰/۴۵	میانگین			
۱/۰۴	۷/۴۵	۸/۰۵	۱/۶۳	۴/۹۵	۴/۰۷	۱/۸۸	۵/۹۵	۶/۲۱	انحراف معیار			



شکل ۳-الف- نقشه خطر خسارت واقعی یخندهان ۳۱ فروردین ۸۲



شکل ۳-ب- نقشه خطر خسارت برآورده شده یخندهان ۳۱ فروردین ۸۲



شکل ۳-ج- نقشه خطای برآورد خطر خسارت یخیندان ۳۱ فروردین ۸۲

جدول ۶- روابط رگرسیونی بین نقشه خسارت یخیندان برآورد شده (X) و مشاهده شده (Y)

۳۱ فروردین ۸۲	۸۴ فروردین ۸۲	۸۴ فروردین ۸۴	معادله رگرسیون
$Y = 10.22 + 0.94X$	$Y = 9.80 + 0.93X$	$Y = 9.80 + 0.94X$	ضریب همبستگی (R)
.۹۴	.۹۳	.۹۳	.۹۳

خسارت یخیندان بعد از میزان دمای حداقل می‌باشد، متغیرهای ردیفهای بعدی همگی متغیرهای اقلیمی می‌باشند. بعد از متغیرهای اقلیمی، متغیرهای جغرافیایی مطرح می‌شوند.

به طور کلی متغیرهای درونی یا جغرافیایی که مربوط به ماهیت فیزیکی و طبیعی منطقه می‌باشند تأثیر کمتری نسبت به متغیرهای اقلیمی دارند. به نظر می‌رسد که محصولات کاشت شده در منطقه و در این مطالعه سبب در طول سالهای متتمادی توانسته باشند با شرایط طبیعی منطقه سازگاری یافته باشند. یعنی درختان کاشته شده در ارتفاعات، طول و عرض و شیوهای مختلف نقش ثانویه را در تعیین میزان خسارت یخیندان بعد از عوامل اقلیمی داشته باشند. ولی در مقابل قوع یخیندانهایی که معمول نبوده و محصولات با آنها سازگاری نیافته اند نقش به مراتب زیادتری را در میزان خطر خسارت یخیندان داشته باشند.

نتیجه گیری

در این تحقیق معلوم گردید که ۲ دسته عوامل مختلف در میزان خسارت یخیندان موثر هستند که شامل عوامل اقلیمی و جغرافیایی بودند. برای تعیین نوع رابطه میان متغیرهای موثر و خطر خسارت یخیندان از مدل خطی رگرسیون چند متغیره استفاده شد.

از ۱۲ متغیر موثر بر روی خطر خسارت یخیندان ۶ متغیر اقلیمی و ۶ متغیر جغرافیایی می‌باشند مشاهده می‌شود که دمای حداقل مهمترین و موثر ترین متغیر بر روی میزان خسارت و خطر خسارت یخیندان می‌باشد. یخیندانهای شدید با دمای پایین رخ می‌دهند و باعث خسارت‌های بیشتری می‌شوند. دو متغیر زاویه شب و طول مدت زیر صفر اهمیت چندانی در خطر خسارت یخیندان نداشته و تأثیر آنها غیر معنی دار می‌باشد. با توجه به این جدول به جز متغیر طول جغرافیایی که بر اساس مقدار آماره F دومین متغیر موثر بر خطر

منابع

- رحیمی م. ۱۳۷۹. بررسی احتمال زمانی وقوع یخنده‌های دیررس بهاره و زودرس پاییزه در البرز مرکزی، پایان نامه کارشناسی ارشد رشته هواشناسی کشاورزی دانشگاه تهران.
- رحیمی م. ۱۳۸۴. پیش‌بینی زمان گلدهی سیب گلدن در گلمکان خراسان، گزارش طرح پژوهشی، سازمان هواشناسی کشور، تهران.
- علیزاده ا. ۱۳۷۵. بررسی تاریخ وقوع اولین یخنده‌های پاییزه و آخرین یخنده‌های بهاره در استان خراسان، مجله نیوار، پاییز ۷۵.
- فرج زاده م. ۱۳۸۶. تکنیکهای اقلیم شناسی، انتشارات سمت، تهران، صص ۸۵ الی ۸۹.
- 5- Avisar R., and Y. Mahrer. 1978. Mapping frost-sensetive areas with a three-dimensional local-scale numerical model, Part II. *J. Applied meteorol.* 27:400-413.
- 6- Bootsma, A. 1976. Estimating minimum temperature and climatological freezing risk in hilly terrain. *Agricultural Meteorology* 16: 425-443.
- 7- Cesarraccio C, D. Spano, R.L. Snuder, P. Duce. 2004. Chilling and forcing model to predict bud-burst of Crop and forest species. *Agricultural and Forest Meteorology*.126:1-13.
- 8- Hijmans, R.J. 1998. Estimating Frost Risk in potato Production on the Altiplano Using interpolated Climate Data, CLP Program Report, Peru.
- 9- Kajfez B.L. 1989. Early outomn frost in upper CarolinaSlovenia, *Zbornik Biotechniske Univerze, Yugoslavia*, 53: 19-26.
- 10- Laughlin, J.P., and J.D. Kalma 1990 Frost Risk Mapping for landscape Planning: A methodology, *Theoretical and Applied Climatology*, 42:41-51.
- 11- Madelin M., and G., Beltrando. 2005. Spatial interpolation-based mapping of the spring frost hazard in the Champagne vineyards, *meteorological Application*, 12: 51-56.
- 12- Michalska B. 1986. Suggest D terms of corn sowing in the main yield in Poland dependent on soil temperatures and frost. *Agrotechniczna*, Poland, 106:97-102.
- 13- Ribeiro António C., De Melo-Abreu J. Paulo, Snyder Richard L., 2006, Apple orchard frost protection with wind machine operation, *Agricultural and Forest Meteorology*, 141:71-81
- 14- Richards K & Baumgarten M., 2003, Towards Topoclimatic Maps of Frost and frost Risk for Scotland New Zeland, *SIRC 2003*, NewZeland.
- 15- Snyder, R. L., J. P., De Melo-Abreu. 2005. Frost Protection: Fundamentals, Practice and Economics. Vol. I. United Nations, Food and Agriculture Organization, Rome, 223 pp.
- 16- URL1: www.aiiri.com
- 17- URL 2: www.koaj.ir
- 18- WMO. 1963. Protection against frost damage. WMO-No. 133. WMO: Geneva.
- 19- Zinoni F., et al. 2002. Charachterization of Emilia-Romagna region in relation with late frost risk, *Physics and Chemistry of the Earth*, 27: 1091-1101